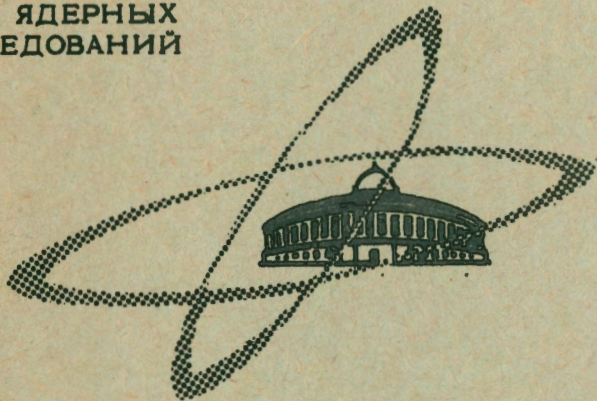


Экз. чит. зала

ОБЪЕДИНЕННЫЙ
ИНСТИТУТ
ЯДЕРНЫХ
ИССЛЕДОВАНИЙ

Дубна

P1 - 4000



И.М. Василевский, И.И. Карпов, Ю.Д. Прокошкин

ВЛИЯНИЕ ВЗАИМОДЕЙСТВИЯ ЧАСТИЦ
НА ФОРМУ КРИВОЙ БРЭГГА

ЛБОРТОРИЯ ЯДЕРНЫХ ПРОБЛЕМ

1968

P1 - 4000

И.М.Василевский, И.И.Карпов, Ю.Д. Прокошкин

ВЛИЯНИЕ ВЗАИМОДЕЙСТВИЯ ЧАСТИЦ
НА ФОРМУ КРИВОЙ БРЭГГА

Направлено в ЖЭТФ

Научно-техническая
библиотека
ОИЯИ

1. Введение

Пробег тяжелых заряженных частиц в веществе R_0 связан с энергией частиц E_0 соотношением

$$R_0 = \int_0^{E_0} \left[\frac{dE}{dR} \right]^{-1} dE , \quad (1)$$

которое позволяет определить величину E_0 путем измерения R_0 . Входящие в соотношение (1) ионизационные потери энергии $\frac{dE}{dR}$ описываются формулой Бете-Блоха

$$-\frac{dE}{dR} = \frac{2\pi (Ze)^2 n}{\rho m c^2 \beta} \left\{ I_n \frac{2mc^2 \beta^2 T}{I^2(1-\beta^2)} - 2\beta^2 - \frac{2}{Z} \sum_{k,a} C_k - \delta \right\} , \quad (2)$$

где β — скорость частицы в единицах скорости света, Ze — ее заряд, m — масса электрона, n — число электронов в 1 см^3 вещества, ρ — плотность вещества, T — максимальная энергия, передаваемая электрону, I — средний ионизационный потенциал атомов вещества, C_k — поправки, учитывающие связь электронов на K, L, \dots — оболочках атомов^{1/1}, δ — поп-

равка на эффект плотности^{/2/}. В случае, когда энергия частиц Е велика (сотни Мэв), поправки С₄ малы и могут быть точно вычислены^{/1/}, а ионизационный потенциал I определяется экспериментально с погрешностью 2-3%^{/3/}. Это соответствует неопределенности в вычислении соотношения "пробег - энергия", не превышающей $3 + 4 \cdot 10^{-3} \left(\frac{dE}{dR} \right)$ логарифмически зависит от I).

Одним из распространенных методов определения пробега R₀ является измерение кривой Брэгга B(R) – зависимости тока B в ионизационной камере, регистрирующей частицы после прохождения ими слоя вещества, от толщины этого слоя R. В идеализированном случае, если не учитывать флуктуации потерь энергии ("страгглинг"), начальный разброс частиц по энергии Е и рассеяние их в тормозящем веществе, $B(R) = \frac{dE}{dR}$ (рис.1). Учёт страгглинга и разброса частиц по энергии приводит к изменению формы кривой Брэгга в области R = R₀ (рис. 1).

Измерения пробегов протонов высокой энергии^{/3,4,5/} показали, что экспериментально определенная кривая Брэгга при R > R₀ согласуется с зависимостью B(R), вычисленной с учётом страгглинга и разброса частиц по энергии. Однако в области до максимума кривой Брэгга (R < R₀) экспериментальные значения B(R) оказались значительно превышающими расчётные. Это расхождение может быть объяснено, по крайней мере, частично, многократным кулоновским рассеянием частиц, тормозящихся в веществе, учёт которого приводит к увеличению расчётных величин B(R) при R < R₀ и сокращению видимого пробега частиц^{/3,6,7/}. Исследования кривой Брэгга в предыдущих работах ограничивались узкой областью пробегов вблизи R₀, и влияние ядерного взаимодействия тормозящихся частиц с веществом на форму кривой Брэгга не учитывалось (вследствие выбывания частиц из-за ядерного взаимодействия значения B(R) при малых R должны значительно возрасти относительно B(R = R₀)).

Целью настоящей работы являлось измерение кривых Брэгга для протонов и других тяжелых частиц с импульсом ~ 1,3 Гэв/с в широком интервале пробегов R и сравнение их с результатами расчёта методом Монте-Карло, учитывающим страгглинг, разброс частиц по энергии, рассеяние и ядерное выбывание частиц. Так как эффекты рассеяния существенно зависят от геометрии эксперимента, измерения и расчёты кривых Брэг-

B (R), отн.един.

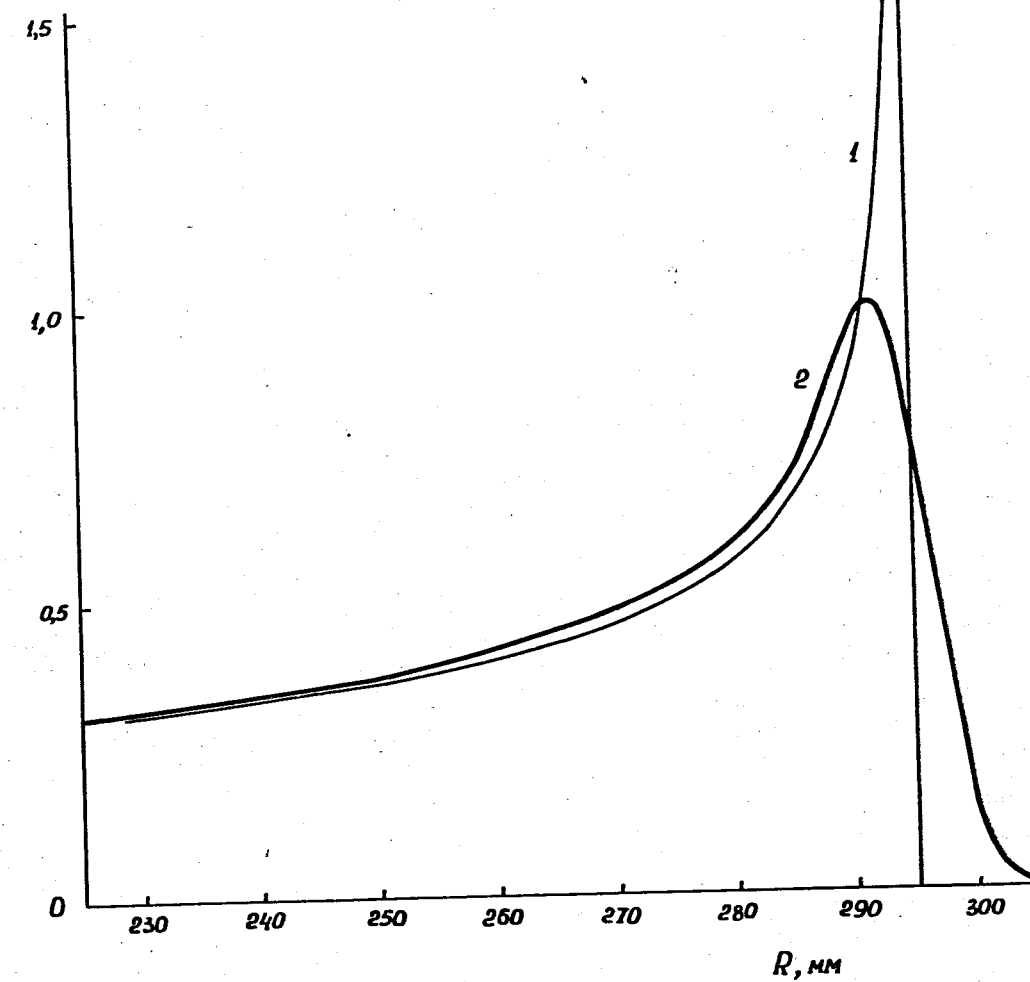


Рис. 1. Расчёты кривые Брэгга для протонов с пробегом R₀ = 295 мм меди, 1 – идеализированная кривая (dE / dR), вычисленная без учёта страгглинга, разброса протонов'пучка по энергии и взаимодействия их с веществом; 2 – кривая Брэгга, вычисленная с учётом страгглинга^{/2/} и разброса по энергии^{/8/}.

га были выполнены при различных взаимных расположениях ионизационной камеры и тормозящего вещества.

2. Измерение кривых Брэгга

Эксперименты были проведены на пучках протонов, дейtronов и

α -частиц, выведенных из камеры синхроциклотрона Лаборатории ядерных проблем ОИЯИ. Зависимость $B(R)$ измерялась при помощи ионизационной камеры диаметром 8 см, ток которой регистрировался самопищущим потенциометром. Толщина тормозящего фильтра R , имевшего клиновидную форму, изменялась синхронно с движением ленты самопищущего потенциометра, что позволяло производить непрерывную запись кривой Брэгга. Для контроля за интенсивностью пучка использовалась ионизационная камера, расположенная перед тормозящим фильтром. Диаметр пучка на входе в тормозящий фильтр составлял 2 см, поперечные размеры фильтра - 20 см.

Кривые Брэгга $B(R)$, измеренные для меди и свинца, представлены на рис. 2-5. На этих же рисунках приведены зависимости $B_0(R)$, вычисленные с учётом только страгглинга и разброса пучка по энергии^{x/}. При расчёте $B_0(R)$ разброс частиц по пробегам ΔR аппроксимировался функцией Гаусса $C(R, \Delta R)$, дисперсия которой определялась на основании вычислений Стейнхаймера^{/2/} и результатов измерений^{/8/}. Зависимости $B(R)$ и $B_0(R)$ нормировались на единицу в максимуме $B(R)$ и совмещались по шкале R в точке $R_{0,8}$, соответствующей $B(R_{0,8}) = 0,8 B(R)_{\max}$, которая мало чувствительна к изменению параметров расчётной кривой $B_0(R)$.

Как видно из рис. 2, в случае α -частиц, для которых эффекты рассеяния и ядерного выбывания должны быть сравнительно невелики, измеренные зависимости $B(R)$ и вычисленные кривые $B_0(R)$ близки. Для протонов, имеющих меньшую массу и больший пробег, эффекты взаимодействия с тормозящим веществом играют существенно большую роль.

^{x/} Вычисленные нами величины $B_0(R)$ в области $R < R_0$ несколько превышают значения, полученные Мазером и Сергеем^{/4/}, которые использовали в расчётах приближенную зависимость $\frac{dE}{dR}(R)$.

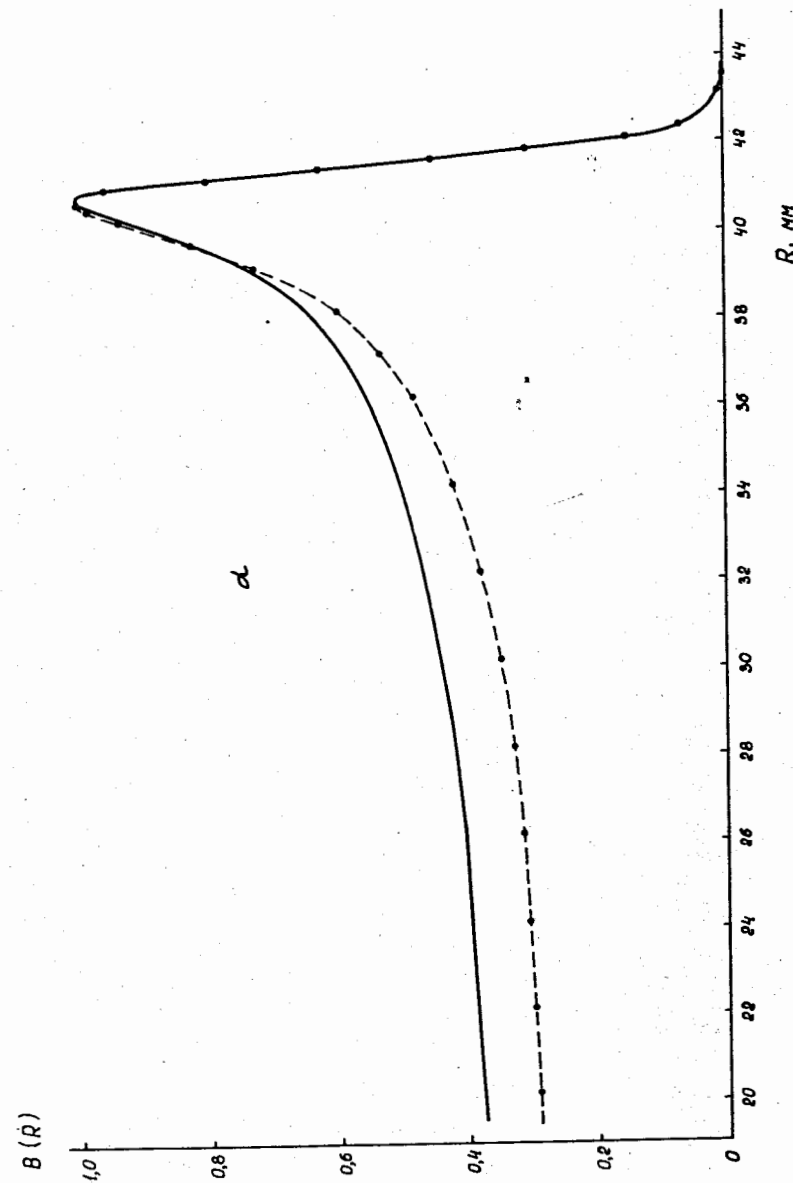


Рис. 2. Кривая Брэгга для α -частиц в меди. Сплошная кривая - измеренная зависимость $B(R)$, точки и пунктирная кривая - вычисленные значения $B_0(R)$.

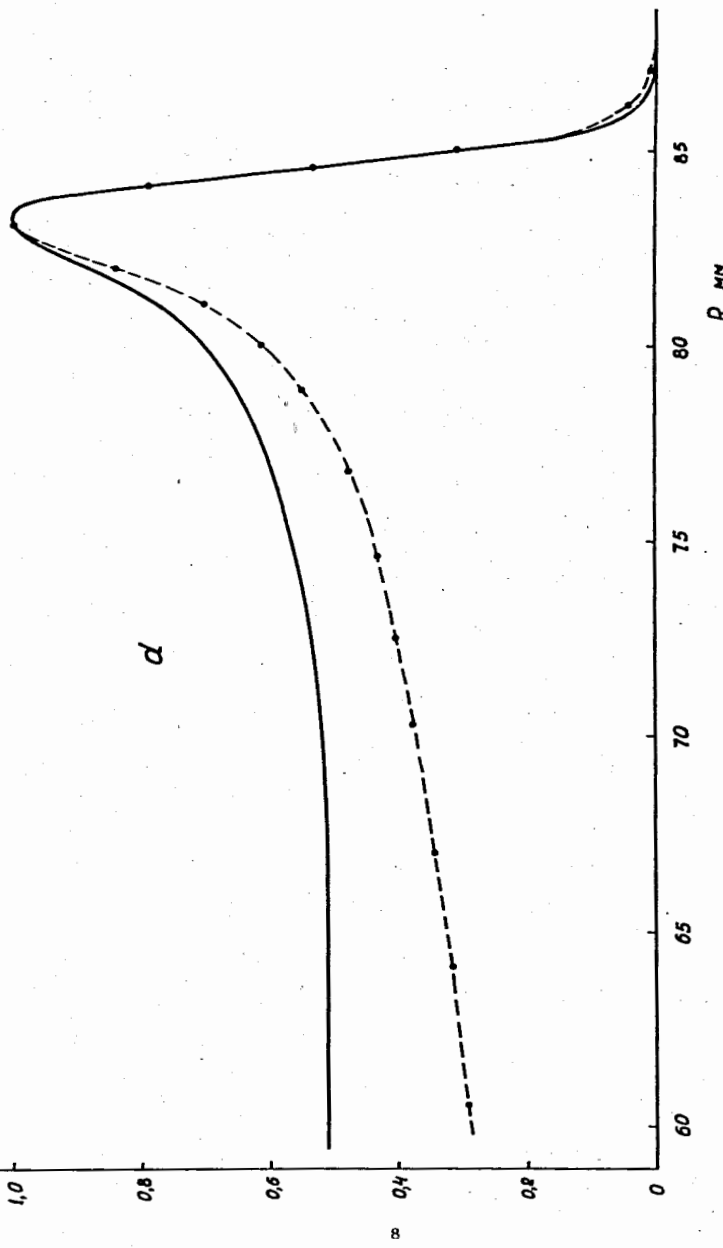


Рис. 3. То же, что на рис. 2, но для дейtronов.

Этому соответствует значительное различие (рис. 4,5) между экспериментально полученными кривыми Брэгга и расчёты зависимостями $B_0(R)$. Это различие особенно велико в области малых R . Дейтроны (рис. 3) занимают промежуточное положение между α -частицами и протонами.

3. Расчёт кривых Брэгга. Обсуждение

Как видно из рис. 4, форма экспериментально найденных кривых Брэгга значительно изменяется при изменении расстояния l между ионизационной камерой и тормозящим фильтром. Это показывает, что рассеяние частиц в тормозящем веществе существенно сказывается на форме кривой Брэгга и что расчёты кривых $B(R)$, используемых для описания экспериментальных данных, нужно производить в тех же геометрических условиях, что и при измерении кривых Брэгга. Вычисление кривых $B(R)$ проводилось в несколько последовательных стадий. На первой стадии учитывалось только многократное кулоновское рассеяние тормозящихся протонов. Тормозящий фильтр толщиной R разбивался на большое число слоев, рассеяние протонов в каждом из которых определялось методом Монте-Карло. Толщина R последовательно увеличивалась, и траектория каждой частицы прослеживалась до тех пор, пока она попадала в ионизационную камеру (протоны либо останавливались в веществе, либо проходили мимо камеры). Всего "разыгрывалось" от 5 до 20 тыс. таких событий для каждого из выбранных значений R . В результате расчёта были получены распределения частиц по пробегу $R' F(R, R')$ и косинусу угла рассеяния при 18 фиксированных значениях R . Типичные распределения $F(R, R')$ приведены на рис. 6.

Далее путём интегрирования полученных распределений и ионизационных потерь (2) вычислялись ток ионизационной камеры $B'(R)$ и свертка $B_1(R)$ этой функции с кривой разброса частиц по пробегам $G(R, \Delta R)$ (см. выше). Найденные таким образом зависимости $B_1(R)$ описывают кривые Брэгга без учёта ядерного взаимодействия протонов с тормозящим веществом. Эти зависимости представлены на рис. 4,5.

$B(R)$, отн. ед.

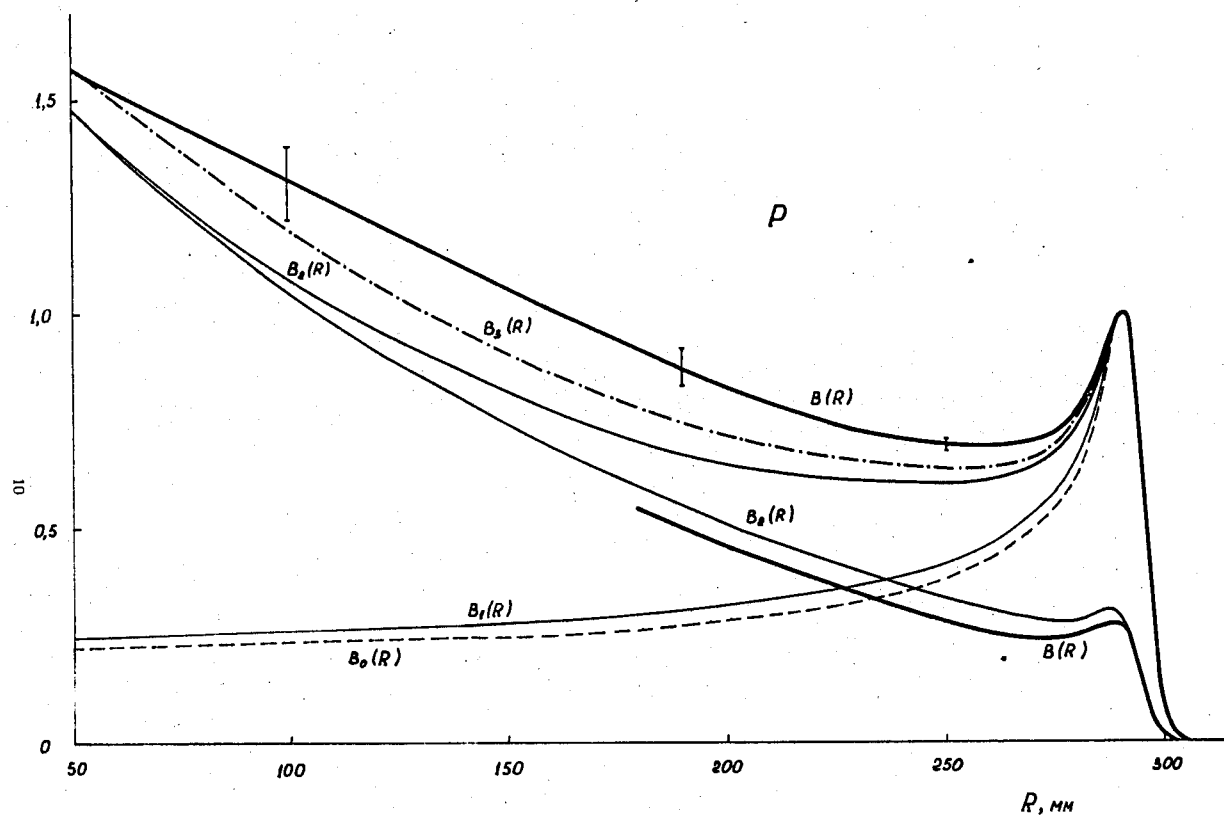


Рис. 4. Измеренные кривые Брэгга $B(R)$ для протонов в меди при $l = 8$ см (верхняя кривая) и $l = 30$ см (нижняя кривая) и расчётные кривые, последовательно учитывающие: разброс протонов пучка по энергии и страгглинг (B_0), многократное кулоновское рассеяние (B_1), ядерное взаимодействие (B_2) и мезонообразование (B_3). Кривые нормированы при $l = 8$ см (см. текст).

$B(R)$, отн. ед.

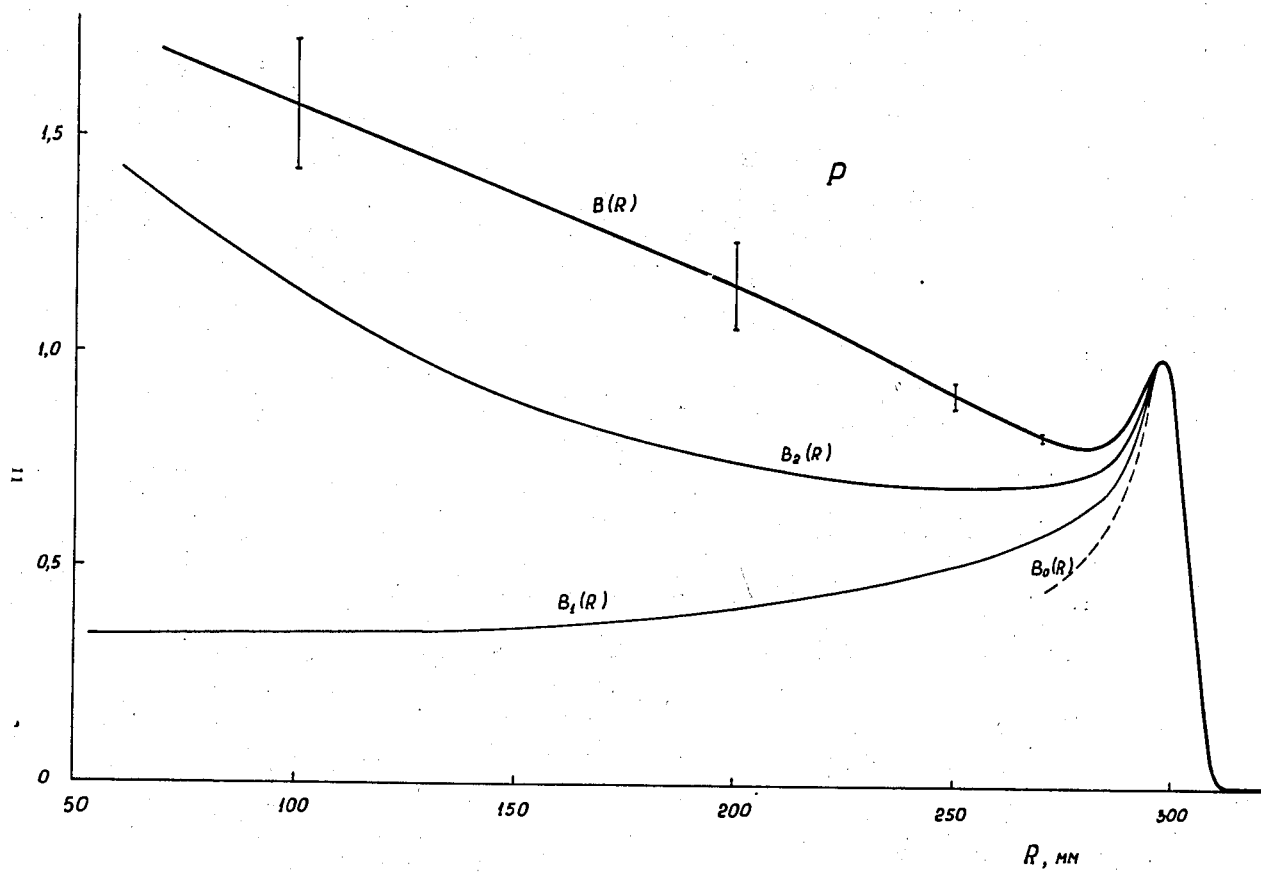


Рис. 5. То же, что и на рис. 4, но для свинца. Зависимость $B_3(R)$ мало отличается от $B_2(R)$, так как для свинца поправка на мезонообразование мала.

Из рис. 4, где приведены кривые Брэгга для меди, видно, что вычисленные значения $B_1(R)$ хорошо согласуются с экспериментальными данными в области за максимумом кривой Брэгга. Определенный по этой части кривой Брэгга средний разброс протонов в пучке по энергии равен $(2,7 \pm 0,3)$ Мэв, что совпадает с экспериментально полученным значением $(2,8 \pm 0,2)$ Мэв^{8/}. В области до максимума кривой Брэгга расчетные кривые $B_1(R)$ для меди лежат существенно ниже экспериментальной зависимости $B(R)$. Аналогичное различие имеет место и для свинца (рис. 5). Из сравнения кривых $B_0(R)$, $B_1(R)$ и $B(R)$ видно, что учёт многократного кулоновского рассеяния частиц лишь немного уменьшает расхождение между измеренными и вычисленными кривыми Брэгга, которое особенно велико в области малых R .

Это расхождение может быть в значительной мере устранено, если при вычислении $B(R)$ учесть выбывание протонов за счёт ядерного взаимодействия в процессе торможения их в веществе. Простые оценки показывают, что на длине пробега ≈ 30 см меди около 90% протонов испытывают ядерные взаимодействия, в результате которых происходит развал ядер вещества, упругое рассеяние протонов или образование мезонов. Поправка к кривой $B_1(R)$, учитывающая ядерное взаимодействие протонов, была вычислена по следующей упрощенной схеме: неупругие взаимодействия и половина упругих взаимодействий протонов с ядрами вещества приводят к выбыванию протонов. Для величин сечений неупругого и упругого рассеяния были использованы экспериментальные данные, систематизированные У.Лекком (частное сообщение). Полученная после введения этой поправки зависимость $B_2(R)$ для меди приведена на рис. 4. Эта зависимость хорошо согласуется с экспериментальными значениями в области за максимумом кривой Брэгга. Определенная путем сравнения кривых $B(R)$ и $B_2(R)$ величина среднего разброса протонов пучка по энергии равна $(2,9 \pm 0,3)$ Мэв, что совпадает с данными прямых измерений^{8/}. При меньших R кривые $B_2(R)$ близки к измеренным кривым Брэгга. Учёт процессов образования мезонов (кривая $B_3(R)$) еще более сближает вычисленные и измеренные кривые Брэгга. В случае свинца расхождение между вычисленными и измеренными кривыми Брэгга остается значительным и после введения поправки на ядерное взаимодействие.

$$F(R, R'), \text{ отн. един.}$$

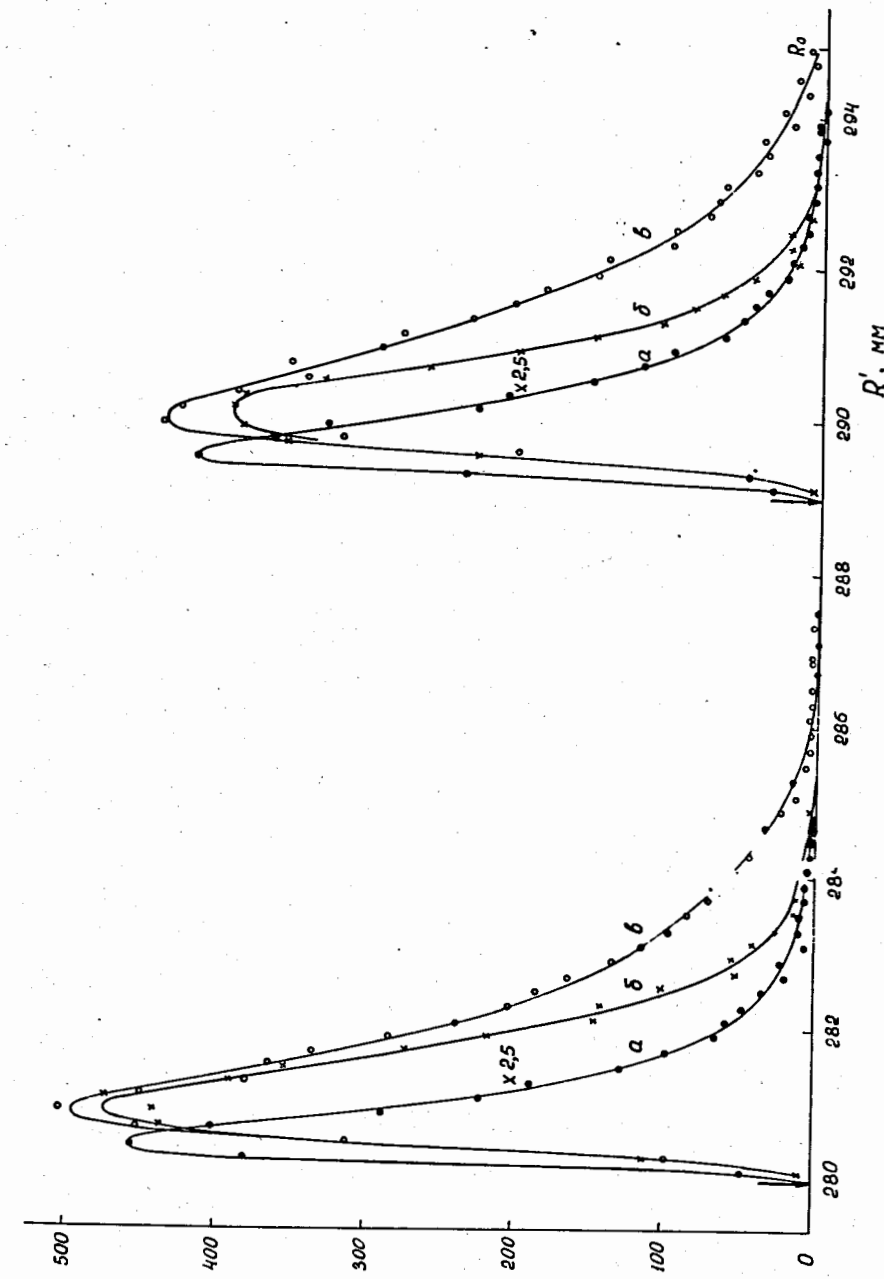


Рис. 6. Распределения $F(R, R')$ для протонов в меди (а) и свинце (б, в) при $l = 4$ см (а, в) и $l = 12$ см (б). Значения R указаны стрелками, $R_0 = 285$ мм.

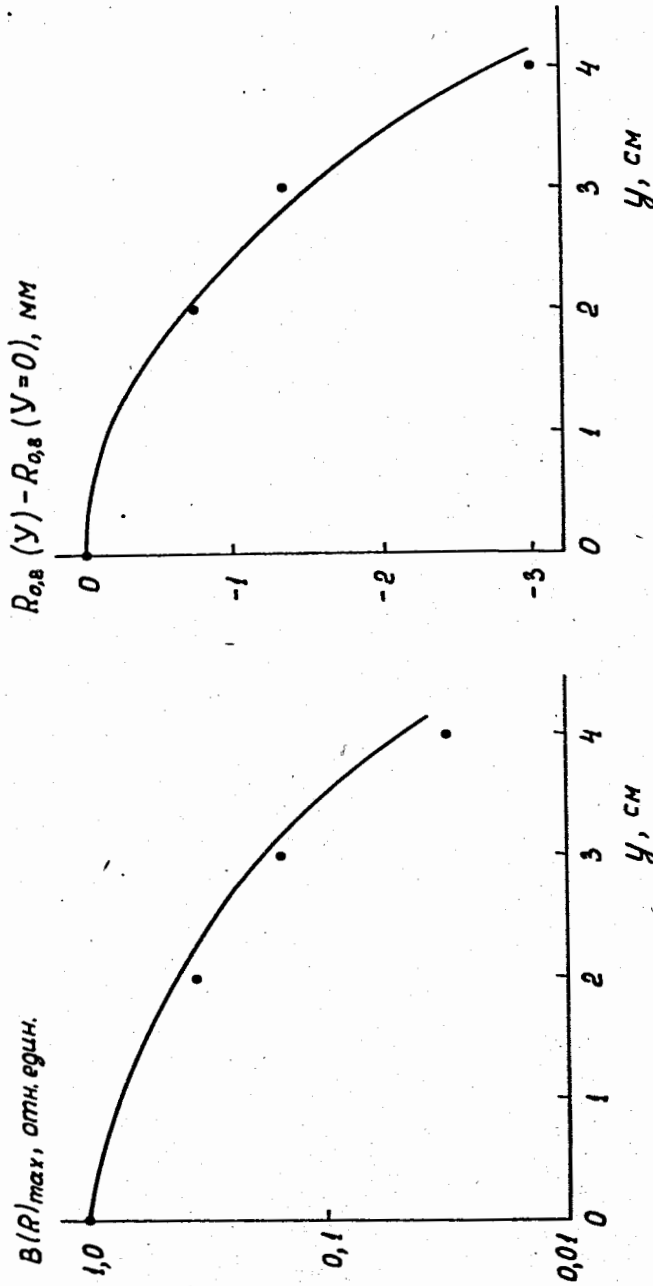


Рис. 7. Зависимость максимума кривой Брэгга $B(R)_{\text{max}}$ и положения точки $R_{0,8}$, соответствующей $B(R_0) = 0,8$, в $B(R)$ от смещения камеры y относительно оси пучка. Кривые — результаты расчёта, точки — экспериментальные данные.

ствие протонов (рис. 5), что, по-видимому, отражает приближенный характер расчёта, не учитывающего, например, регистрацию ионизационной камеры продуктов раз渲ала ядер.

Измерения и расчёты кривых Брэгга были выполнены также и для веществ с меньшим зарядом ядер (алюминий, углерод, полиэтилен CH_2). Здесь также наблюдалось большое различие между зависимостями $B(R)$ и $B_0(R)$ в области малых R . Многократное кулоновское рассеяние протонов в этих веществах значительно меньше, чем в меди и свинце, и учёт его мало изменяет форму расчётной кривой Брэгга. После введения поправок на ядерное взаимодействие тормозящихся протонов согласие измеренных и вычисленных кривых Брэгга оказалось таким же, как на рис. 4.

С целью проверки принятой схемы расчёта были измерены и вычислены кривые Брэгга для небольшой (диаметром 2 см) ионизационной камеры, располагавшейся на различных расстояниях y от оси пучка. На рис. 7 представлены зависимости от y двух характеристик кривой Брэгга — максимума кривой Брэгга $B(R)_{\text{max}}$ и точки $R_{0,8}$ (см. выше). Как видно из рис. 7, расчётные значения согласуются с результатами измерений.

Проведенное выше сопоставление измеренных и вычисленных кривых Брэгга показывает, что при энергиях протонов $\gtrsim 600$ Мэв форма кривой Брэгга в существенной мере определяется ядерным взаимодействием тормозящихся в веществе протонов. Этот эффект необходимо учитывать при определении энергии частиц методом кривой Брэгга.

В заключение пользуемся случаем поблагодарить У.Локка, любезно предоставившего данные составленного им обзора до их опубликования.

Л и т е р а т у р а

1. M.C.Walske. Phys. Rev. 88, 1283 (1952); 101, 940 (1956).
2. R.M.Steinheimer. Phys. Rev. 88, 851 (1952); 91, 256 (1953); 103, 511 (1956).
3. И.М.Василевский, Ю.Д.Прокошкин, Препринт ОИЯИ Д-566 (1960); ЯФ., 4, 549 (1966).
4. R.Mather., E.Segre. Phys. Rev. 84, 191 (1951).
5. В.П.Зрелов, Г.Д.Столетов. ЖЭТФ, 36, 658 (1959).

6. C.N.Yang, Phys. Rev. 84, 599 (1951).
7. H.Bichsel, Phys. Rev. 120, 1012 (1960); Univ. of South. Calif., Tech.
Rep. N° 2, 3, 1961.
8. И.М. Васильевский, Ю.Д. Прокошкин. Атомная энергия, 7, 225 (1959).

Рукопись поступила в издательский отдел
22 июля 1968 года.